

بررسی پایداری بار غیرخطی کوره قوس الکتریکی در حضور منابع توان راکتیو

پگاه سقا^(۱) - بهادر فانی^(۲)

(۱) کارشناس ارشد - دانشکده مهندسی برق، دانشگاه آزاد اسلامی، واحد علوم و تحقیقات اصفهان

(۲) استادیار - دانشکده مهندسی برق، دانشگاه آزاد اسلامی، واحد نجف آباد

تاریخ پذیرش: زمستان ۱۳۹۳

تاریخ دریافت: تابستان ۱۳۹۲

چکیده: در این مقاله ابتدا به مدل کوره قوس الکتریکی پرداخته می‌شود. مدل به کار رفته در این مقاله یک مدل دینامیکی نمایش داده شده با یک معادله دیفرانسیل است. سپس، این مدل در کنار مدل سیستم قدرت که به صورت مدار معادل تونن در نظر گرفته شده قرار داده می‌شود و نقاط کار سیستم دینامیکی کل استخراج می‌گردد. با خطی‌سازی سیستم حول نقاط کار، ماتریس ژاکوبین سیستم استخراج گردیده و نوع پایداری نقاط تعادل مشخص می‌گردد. در ادامه معادله محدود شده به منیفلد مرکزی برای سیستم مورد نظر به دست خواهد آمد و از روی آن به بررسی اتفاقات ممکن در سیستم فوق در مقدار بحرانی پارامتر انشعاب پرداخته می‌گردد. در پایان نتایج تحلیلی را با نتایج شبیه‌سازی که به کمک نرم‌افزار Auto به دست آمده، مقایسه می‌گردد و در انتها به این نتیجه خواهیم رسید که با استفاده از روش تحلیلی تنها یک نوع از انشعابات این سیستم قدرت مشخص می‌گردد ولی با استفاده از نرم‌افزار Auto همه انشعابات موجود در سیستم قدرت فوق مشخص می‌شود.

کلمات کلیدی: کوره قوس الکتریکی، انشعاب، نرم‌افزار Auto

استاتیک تغییر کند [۴۳]. انشعاب گره-زینی به عنوان عامل فروپاشی ولتاژ معرفی شده است. جنبه مهم این انشعاب، یکی شدن دو نقطه تعادل و سپس ناپایداری آن بر اثر تغییر پارامتر انشعاب است. در [۲] نقش وقوع انشعاب هاپف با اضافه شدن یکی از ادوات Facts و به طور خاص SVC و رخداد آن قبل از انشعاب گره-زینی بررسی شده است. نکته قابل توجه تأثیر SVC در اضافه شدن یک دینامیک جدید در سیستم قدرت است که در عین حال که باعث افزایش میزان توان انتقالی بر روی خطوط انتقال انرژی می‌گردد باعث پدیدار شدن انشعاب هاپف قبل از رخداد انشعاب گره-زینی نیز می‌گردد. در ضمن، در این حالت به دلیل کنترل ولتاژ توسط SVC ناپایداری زاویه‌ای روتور در نقطه انشعاب رخ می‌دهد. در دو دهه اخیر با پیشرفت سریع نیمه هادی‌ها در سطح ولتاژ و توان و نیز پیشرفت سیستم‌های کنترلی، SVC، PASSIVE FILTER و UPFC با انعطاف‌پذیری و دامنه عملکرد بالا طراحی و ساخته شده‌اند و در شبکه‌های قدرت نصب گردیده‌اند.

۱- مقدمه

وقوع اختلالات بزرگی مثل خارج شدن یک خط انتقال مهم در شرایط بارگذاری زیاد، می‌تواند منجر به ناپایداری ولتاژ شود و به دنبال آن فروپاشی ولتاژ رخ دهد. همچنین، تغییر آهسته و مداوم نقطه کار سیستم، به واسطه افزایش بار می‌تواند باعث ناپایداری ولتاژ شود [۲]. هنگامی که عامل ناپایداری ولتاژ، افزایش تدریجی بار باشد، توری انشعاب، نحوه فروپاشی ولتاژ را نشان می‌دهد.

هنگامی که بار سیستم به تدریج افزایش می‌یابد، نقطه تعادل سیستم و در پی آن مقادیر ویژه ماتریس ژاکوبین سیستم تغییر می‌کنند. گذر پارامتر انشعاب از مقدار انشعاب، باعث ناپایداری ولتاژ می‌گردد که در برخی حالت‌ها، این ناپایداری به صورت کاهش سریع و بدون نوسان اندازه ولتاژ‌هاست. یکی از مهمترین نتایج به دست آمده از مطالعات انجام گرفته روى پدیده ناپایداری ولتاژ اين است که اين پدیده ارتباط نزدیکی با انشعاب در مدل‌های ریاضی توصیف‌کننده سیستم قدرت دارد. انشعاب عبارت است از تغییر کیفی در تصویر فاز یک سیستم دینامیکی و هنگامی رخ می‌دهد که یک پارامتر انشعاب به طور شبه

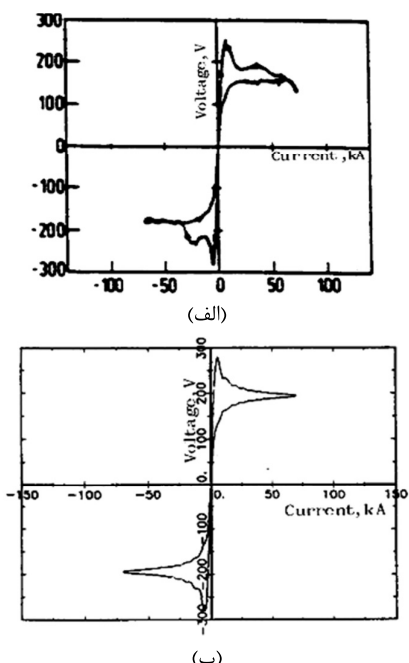
در ادامه این مقاله معادله محدود شده به منیفلد مرکزی برای سیستم فوق به دست آمده و از روی آن به بررسی سیستم در مقدار بحرانی پارامتر انشعاب پرداخته شده است و در انتها نتایج تحلیلی با نتایج حاصل از شبیه سازی که به کمک نرم افزار Auto به دست آمده است، مقایسه می شود.

۲- مدل کوره قوس الکتریکی

یکی از مدل های دینامیکی معتبر برای کوره های قوس الکتریکی بر اساس مراجع موجود از جمله مرجع [۱] به صورت زیر است:

$$(1) \quad k_1 r^n + k_2 r \frac{dr}{dt} = \frac{k_3}{r^{m+2}} i^2$$

که در آن i جریان کوره، r شعاع قوس بر حسب سانتیمتر، k_1 ، k_2 و k_3 پارامترهایی است که به کوره مورد نظر و اینکه در کدام یک از مراحل ذوب هستیم بستگی دارد و باید شناسایی شود. ثوابت n و m اعداد صحیحی هستند که بین صفر تا دو می توانند تغییر کنند و بستگی به شرایط محیطی کوره مانند دمای کوره و دمای قوس دارند. این رابطه در مرجع [۱] بر اساس توازن توان الکتریکی داده شده به کوره قوس الکتریکی توسط شبکه قدرت و توان ذخیره شده در قوس و ولتاژ-جریان یک کوره قوس الکتریکی با ولتاژ حداقل ۲۵۰ ولت و جریان حداقل ۷۰ کیلو آمپر هم بر اساس نتایج اندازه گیری شده و هم با شبیه سازی کامپیوترا در شکل (۱) آورده شده است.



شکل (۱): مشخصه کوره قوس الکتریکی (الف) اندازه گیری شده از یک کوره واقعی (ب) شبیه سازی شده

Fig. (1): Characteristic of the electric arc furnace.
(a). The real measure of a furnace, (b). Simulated

تأثیر این جبران کننده ها در بهبود پایداری و میرا کردن نوسانات سیستم های قدرت در مراجع متعددی نشان داده شده است. از طرف دیگر اضافه شدن این گونه عناصر به سیستم قدرت باعث به وجود آمدن دینامیک های جدیدی در آن می گردد که به نوبه خود در بررسی های پایداری شبکه قدرت تأثیر می گذارد. یک نمونه آن تبدیل انشعاب گره- زینی به انشعاب هاپف در محدوده کار پایدار سیستم است [۲۱]. بنابراین توجه به مدل دینامیکی آنها در روند تحلیل پایداری سیستم مورد نظر لازم است.

درجه پیچیدگی تحلیل پایداری سیستم های دینامیکی از جمله سیستم قدرت به سرعت با تعییر مدل های ریاضی سیستم از خطی تغییر ناپذیر با زمان به خطی تغییر پذیر با زمان و غیرخطی افزایش می یابد. یکی از این عناصر، سیستم های کوره قوس الکتریکی به عنوان یکی از بزرگترین مصرف کننده های انرژی در شبکه قدرت می باشند. طبیعت این بارها غیرخطی و متغیر با زمان است [۵۶]. به علت خاصیت غیرخطی، آنها منابع بزرگ توزیق هارمونیک ها به شبکه قدرت به شمار می آیند و از طرف دیگر طبیعت متغیر با زمان کوره ها که ناشی از تغییرات قوس در طول فرآیند ذوب است باعث نوسانات ولتاژ روی مصرف کننده های مجاور و همچنین روی عملکرد کوره قوس تأثیر نامطلوب می گذارد. همچنین تغییرات ولتاژ باعث می شود که کوره های قوس الکتریکی از کار کرد بهینه خود دور شوند [۷]. مدل سازی و بررسی عملکرد کوره های قوس با توجه به دو ویژگی غیرخطی مشخصه ولتاژ-جریان و متغیر با زمان بودن آنها، از دو منظر می تواند انجام گیرد. مراجع از این نقطه نظر به دو دسته تقسیم می شوند.

(۱) مراجعی که روی خواص غیرخطی کوره قوس الکتریکی متمرکز شده اند.

(۲) مراجعی که خواص متغیر با زمان بودن کوره های قوس را در نظر گرفته اند.

در [۸] در سال ۲۰۰۰، کوره قوس به صورت مقاومت غیرخطی کنترل شده با جریان مدل شده است. ویژگی کار انجام شده در این مقاله، وارد کردن سیستم کنترل کوره به مدل کوره است. در اینجا با توجه به حالات های کاری مختلف کوره قوس، مدل کوره یک مدل تطبیقی خواهد بود که در آن، نقاط کار مختلف کوره دخالت دارند. در [۹] در سال ۲۰۱۰ بر اساس مدل استاتیکی ارائه شده در مرجع ۷ و با در نظر گرفتن خاصیت تصادفی بودن طول قوس، روشی برای شناسایی پارامترهای مدل بر اساس الگوریتم ژنتیک ارائه شده است. کارایی روش پیشنهادی با استفاده از مقادیر واقعی ولتاژ و جریان اندازه گیری شده از دو کوره قوس مختلف نشان داده شده است.

در این مقاله در ابتدا به مدل سازی دینامیکی کوره قوس الکتریکی پرداخته شده است و مدل این کوره در کنار مدل سیستم قدرت در نظر گرفته می شود. نقاط کار سیستم شامل کوره با خطی حول نقاط کار استخراج شده و نوع پایداری نقاط تعادل مشخص می شود.

مقدار ویژه حقیقی ساده به صفر نزدیک شود و داشته باشیم $\lambda_1 = 0$ و دوم اینکه یک جفت مقدار ویژه مختلط ساده به محور موهومی نزدیک شود و داشته باشیم $\lambda_{1,2} = \pm i\omega_0$, $\omega_0 > 0$ که در این صورت گفته می‌شود انشعاب رخ داده است.

۴- انشعابات و دیاگرام انشعاب

نظریه انشعاب یک ابزار بسیار مهم برای تجزیه و تحلیل سیستم‌های غیر خطی است که از نظر کیفی می‌تواند رفتار دینامیکی سیستم را با تغییر پارامترها پیش‌بینی کند تغییر پارامترها باعث تغییر پایداری سیستم می‌شوند نقطه انشعاب نشان دهد که تغییر کیفی سیستم دینامیکی است. یک سیستم دینامیکی زمان-پیوسته که وابسته به پارامتر است را به ترتیب به صورت زیر در نظر بگیرید:

$$\dot{x} = f(x, \alpha) \quad (4)$$

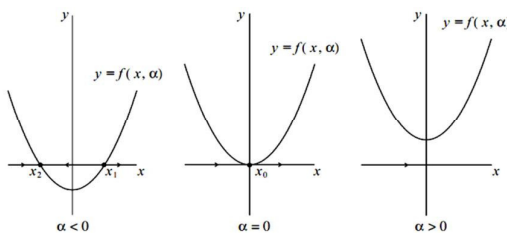
که در آن $x \in R^n$ و $\alpha \in R^m$ به ترتیب متغیرهای فاز و پارامترها هستند. نمای فاز سیستم را در نظر بگیرید. همین که پارامترهای سیستم تغییر بکنند، نمای فاز نیز تغییر می‌کند. انشعاب عبارت است از تغییر کیفی در نمای فاز یک سیستم دینامیکی و هنگامی رخ هستند که یک پارامتر انشعاب به طور شبیه استاتیک تغییر کند [۴].

۴-۱- انشعاب فولدیا گره زینی

سیستم زمان-پیوسته یک بعدی وابسته به پارامتر زیر را در نظر بگیرید:

$$\dot{x} = \alpha + x = f(x, \alpha) \quad (5)$$

این سیستم در $\alpha = 0$ یک نقطه تعادل غیرهذلولوی $x_0 = 0$ با مقدار $\lambda_1 = 0$ دارد. رفتار سیستم برای تمامی مقادیر دیگر α نیز مشخص است که در شکل (۳) نشان داده شده است.



شکل (۳): انشعاب فولد
Fig. (3): Fold bifurcation

برای $\alpha < 0$ در سیستم دو نقطه تعادل وجود دارد: $x_{1,2} = \pm\sqrt{-\alpha}$ به طوری که نقطه تعادل سمت چپ پایدار و سمت راست ناپایدار است. برای $\alpha > 0$ در سیستم نقطه تعادلی وجود ندارد. زمانی که α با شروع از مقدار منفی، صفر و سپس مثبت می‌شود، دو نقطه تعادل (پایدار و ناپایدار) با یکدیگر برخور کرده، در $\alpha = 0$ یک نقطه تعادل با $\lambda = 0$ تشکیل داده و سپس ناپایدار می‌شود. این انشعاب، انشعاب فولد نامیده می‌شود.

۳- نقاط تعادل هذلولوی در سیستم‌های زمان-پیوسته

سیستم دینامیکی زمان-پیوسته زیر را در نظر بگیرید:

$$\dot{x} = f(x), \quad x \in R^n \quad (2)$$

که در آن f یکنواخت است. فرض کنید $x_0 = 0$ یک نقطه تعادل سیستم (یعنی $f(x_0) = 0$) و ماتریس ژاکوبین $Df|_{x=0}$ دو عدد n_+ و n_- باشد. همچنین فرض کنید A ماتریس (عدد) $Df|_{x=0}$ باشد. اگر $n_+ - n_- = 0$ ، نقطه تعادل هذلولوی نامیده می‌شود. به عبارت دیگر هیچ مقدار ویژه‌ای روی محور موهومی نباشد و اگر $n_+ - n_- \neq 0$ ، نقطه تعادل هذلولوی زینی نامیده می‌شود. در ادامه نقاط تعادل عمومی یک سیستم دینامیکی دو بعدی (مسطح) را بررسی خواهیم کرد که در آن f یکنواخت بوده و $x = 0$ یک نقطه تعادل است: $f(0, 0) = 0$. همچنین فرض کنید $Df|_{x=0}$ ماتریس ژاکوبین سیستم باشد. ماتریس A دارای دو مقدار ویژه λ_1, λ_2 است که ریشه‌های معادله مشخصه $\lambda^2 - \sigma\lambda + \Delta = 0$ هستند. در این رابطه داریم: $\Delta = \det A$ و $\sigma = \text{tr } A$.

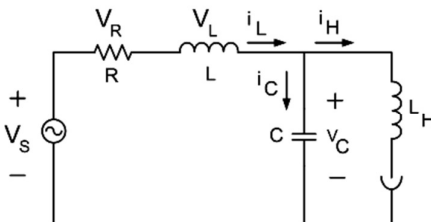
(n_+, n_-)	Eigenvalues	Phase portrait	Stability
(0, 2)			stable
(1, 1)			unstable
(2, 0)			unstable

شکل (۲): طبقه‌بندی توبولوژیکی نقاط تعادل هذلولوی در سیستم‌های مسطح
Fig. (2): Topological classification of hyperbolic equilibria on the plane

در حقیقت سه دسته طبقه‌بندی توبولوژیکی برای نقاط تعادل هذلولوی در سیستم‌های مسطح وجود دارند: گره‌ها یا کانون‌های پایدار، زینی و گره‌ها یا کانون‌های ناپایدار. همان طور که دیده شد گره‌ها و کانون‌ها (با پایداری‌های متناظر) هم‌ارز توبولوژیکی هستند و به راحتی با نگاه کردن به مقادیر ویژه قابل تشخیص هستند. نقاط تعادل پایدار دارای منیفلدهای پایدار دو بعدی و فاقد منیفلدهای ناپایدار هستند و عکس آن در مورد نقاط تعادل ناپایدار برقرار است. نقاط تعادل زینی دارای منیفلدهای پایدار و ناپایدار یک بعدی می‌باشند. مشخص است که به طور عمومی تنها در دو صورت شرط هذلولوی بودن نقطه تعادل می‌تواند نقض شود. اول اینکه برای بعضی از مقادیر پارامتر α یک

۴- تحلیل پایداری کوره قوس الکتریکی متصل به سیستم قدرت

مدار معادل تکفاز شبکه قدرت سه فازی که برای تحلیل پایداری کوره قوس الکتریکی در نظر گرفته شده در شکل (۶) آمده است:



شکل (۶): کوره قوس الکتریکی به همراه مدار معادل تونن شبکه

Fig. (6): Electric arc furnaces by a Thevenin equivalent circuit network

که در آن V_s ولتاژ منبع معادل تونن شبکه، R و L به ترتیب مقاومت اهمی و اندوکتانس معادل تونن شبکه، C بانک خازنی، L_H اندوکتانس معادل کابل‌های اتصال قابل انعطاف، ترانسفورماتور کوره قوس الکتریکی و الکتروودها می‌باشد. مقادیر پارامترها در جدول (۱) آورده شده است [۱۰].

Table (1): Electrical circuit parameters fig(6)

جدول (۱): پارامترهای مدار الکتریکی شکل (۶)

C	L	R	L_H	V_s	m	n	k_1	k_2	k_3
0.1	0.1	0.1	0.1	1	2	2	0.08	0.005	3

اگر مدل کوره قوس الکتریکی را به تنهایی و با پارامترهای k_1 ، k_2 و k_3 داده شده در جدول (۱) شبیه‌سازی کنیم، نتایج شکل (۷) حاصل می‌شود.

در ادامه به تحلیل پایداری این سیستم قدرت می‌پردازیم. با نوشتند معادلات KVL و KCL معادلات حالت این مدار الکتریکی به دست می‌آید:

$$\Rightarrow \begin{bmatrix} \dot{i}_L \\ \dot{v}_C \\ \dot{i}_H \\ \dot{r} \end{bmatrix} = \begin{bmatrix} -R & -1 & 0 & 0 \\ \frac{1}{L} & 0 & -\frac{1}{C} & 0 \\ 0 & \frac{1}{L_H} & \frac{-k_3 r^{-(m+2)}}{L_H} & 0 \\ 0 & 0 & \frac{k_3 r^{-(m+3)} i_H}{k_2} & \frac{-k_1 r^{(n-2)}}{k_2} \end{bmatrix} \begin{bmatrix} i_L \\ v_C \\ i_H \\ r \end{bmatrix} + \begin{bmatrix} \frac{1}{L} \\ 0 \\ 0 \\ 0 \end{bmatrix} V_s \quad (8)$$

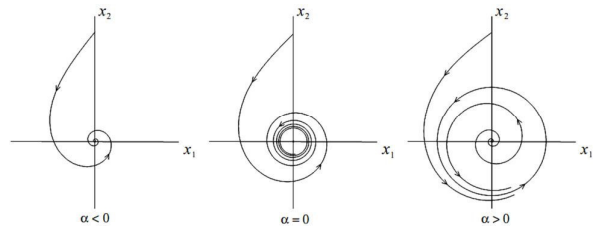
۲-۴- انشعاب هاپف

سیستم زمان-پیوسته دو بعدی وابسته به پارامتر زیر را در نظر بگیرید:

$$\begin{cases} \dot{x}_1 = \alpha x_1 - x_2 - x_1(x_1^2 + x_2^2) \\ \dot{x}_2 = x_1 + \alpha x_2 - x_2(x_1^2 + x_2^2) \end{cases} \quad (6)$$

این سیستم برای تمام α ها دارای نقطه تعادل $x_1 = x_2 = 0$ با

ماتریس زاکوین $A = \begin{pmatrix} \alpha & -1 \\ 1 & \alpha \end{pmatrix}$ دارای مقادیر ویژه $\lambda_{1,2} = \pm i\omega_0$ ، $\omega_0 > 0$ است.



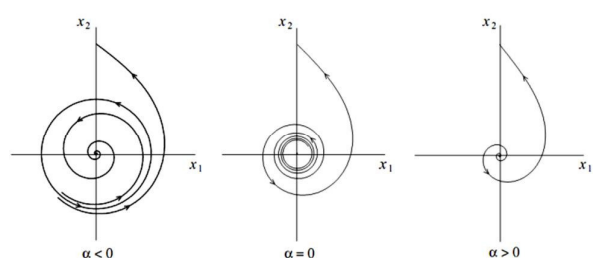
شکل (۴): انشعاب هاپف فوق بحرانی

Fig. (4): Supercritical Hopf bifurcation

سیستم همیشه در مبدأ دارای نقطه تعادل است. برای $\alpha < 0$ این نقطه تعادل یک کانون پایدار و برای $\alpha > 0$ کانون ناپایدار است. در مقدار بحرانی پارامتر یعنی $\alpha = 0$ ، نقطه تعادل به طور غیرخطی پایدار است.

سیستم با علامت مخالف برای عبارات غیرخطی زیر را نیز می‌توان به طور مشابه تحلیل کرد:

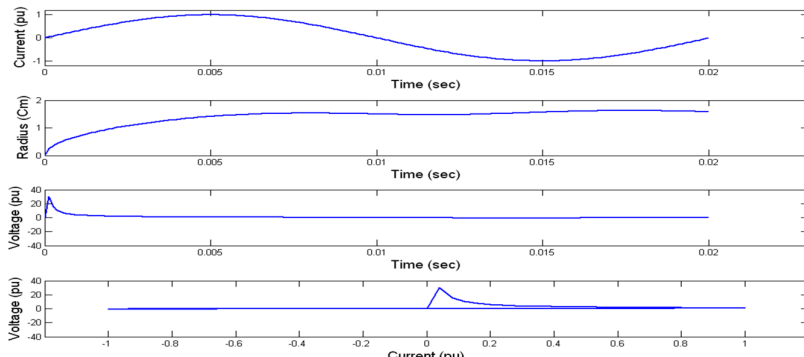
$$\begin{cases} \dot{x}_1 = \alpha x_1 - x_2 + x_1(x_1^2 + x_2^2) \\ \dot{x}_2 = x_1 + \alpha x_2 + x_2(x_1^2 + x_2^2) \end{cases} \quad (7)$$



شکل (۵): انشعاب هاپف زیر بحرانی

Fig. (5): Subcritical Hopf bifurcation

نقطه تعادل در مبدأ برای $\alpha \neq 0$ پایداری یکسانی مانند سیستم (۶) دارد یعنی برای $\alpha < 0$ پایدار و برای $\alpha > 0$ ناپایدار است. در نقطه بحرانی $\alpha = 0$ ، پایداری سیستم برخلاف پایداری سیستم (۶) می‌باشد و به صورت غیرخطی ناپایدار است. قابل توجه است که تشخیص نوع انشعاب هاپف از روی پایداری نقطه تعادل در مقدار بحرانی پارامتر انشعاب امکان‌پذیر است.



شکل (۷): شکل موج های جریان -شعاع قوس - و لغزش و مشخصه ولتاژ-جریان کوره قوس الکتریکی

Fig.(7) : Current waveforms_ arc Radius_ Voltage and voltage characteristics_ The current arc furnace

$$L(L) = \frac{1}{2\omega} \operatorname{Re}(\langle p, C(q, q, \bar{q}) \rangle - 2\langle p, B(q, E) \rangle + \langle p, B(\bar{q}, G) \rangle) \quad (11)$$

اگر ضریب اول لیپانف مثبت باشد انشعاب هاپف زیر بحرانی و اگر منفی باشد انشعاب هاپف فوق بحرانی می‌باشد. با استفاده از روش تصویر ضریب اول لیپانف را به دست می‌آوریم (تصویر یک روش مفید برای محاسبه منیفلد مرکزی که ما را از تبدیل سیستم به پایه ویژه‌اش بیناز کنند در عوض، تنها بردارهای ویژه متناظر با مقادیر ویژه بحرانی ماتریس ژاکوبین A و ترانهاده آن یعنی A^T به کار می‌رود تا سیستم را بر روی فضای ویژه بحرانی و مؤلفه‌هایش تصویر کند). برای این کار ابتدا نقطه تعادل اول را که نقطه‌ای پایدار است به مبدأ منتقل می‌کنیم: معادلات حالت را در دستگاه جدید بازنویسی می‌کنیم:

$$i_L = I_L + i_{L0} \quad (12)$$

$$i_H = I_H + i_{H0} \quad (13)$$

$$v_C = V_C + v_{C0} \quad (14)$$

$$r = \Re + r_0 \quad (15)$$

$$I_L = \left(\frac{-R}{L} \right) (I_L + i_{L0}) + \left(\frac{-1}{L} \right) (V_C + v_{C0}) + \left(\frac{1}{L} \right) V_s \quad (16)$$

$$V_C = \left(\frac{1}{C} \right) (I_L + i_{L0}) + \left(\frac{-1}{C} \right) (I_H + i_{H0}) \quad (17)$$

$$I_H = \left(\frac{1}{L_H} \right) (V_C + v_{C0}) + \left(\frac{-k_3 (\Re + r_0)^{-(m+2)}}{L_H} \right) (I_H + i_{H0}) \quad (18)$$

$$\Re = \left(\frac{k_3 (\Re + r_0)^{-(m+3)}}{k_2} \right) (I_H + i_{H0})^2 + \left(\frac{-k_1}{k_2} \right) (\Re + r_0)^{(n-1)} \quad (19)$$

قدم بعدی پیدا کردن نقاط کار سیستم یا نقاط تعادل می‌باشد با جایگذاری پارامترهای مدار دو نقطه تعادل که مربوط به دو ریشه حقیقی و مثبت معادله فوق است، به صورت زیر به دست می‌آیند:

$$\text{Number1: } r_0 = 3.7625, i_{L0} = i_{H0} = 8.6979, v_{C0} = 0.1302 \quad (9)$$

$$\text{Number2: } r'_0 = 0.4908, i'_{L0} = i'_{H0} = 0.0193, v'_{C0} = 0.9981 \quad (10)$$

با قرار دادن دو نقطه تعادل در معادله مشخصه $|\lambda I - A| = 0$ و حل این معادله مقادیر ویژه سیستم به دست می‌آید. در نقطه تعادل اول داریم: $-0.2386 \pm j14.1232 = -\lambda_{1,2}$ و $\lambda_4 = -96.1974$ و $\lambda_3 = -0.4752$ با توجه به منفی بودن قسمت حقیقی تمامی مقادیر ویژه، این نقطه تعادل پایدار می‌باشد. در نقطه تعادل دوم داریم: $-0.249 \pm j10.09 = -\lambda_{1,2}$ و $\lambda_3 = -638.587$ و $\lambda_4 = 25.264$ با توجه به مثبت بودن قسمت حقیقی مقدار ویژه چهارم، این نقطه تعادل ناپایدار می‌باشد. حال اگر یکی از پارامترهای سیستم مثلاً L عنوان پارامتر انشعاب در نظر گرفته شود، (البته سایر المانهای دیگر را نیز می‌توان به عنوان پارامتر انشعاب انتخاب نمود) با تغییر این پارامتر ملاحظه می‌شود که در pu $L = L_0 = 0.46$ ، سیستم مورد نظر دارای یک جفت مقدار ویژه مزدوج مختلط روی محور موهومی با مقادیر $\omega_0 = 11.02248 > 0$ است. دو مقدار ویژه دیگر به $\lambda_{1,2} = \pm j\omega_0$ می‌باشند.

صورت ساده و با علامت منفی هستند: $\lambda_3 = -0.1694$ و $\lambda_4 = -96.1974$ در نتیجه در این سیستم به ازای $L = L_0$ انشعاب هاپف رخ می‌دهد. در ادامه معادله محدود شده به منیفلد مرکزی سیستم استخراج می‌گردد و نوع انشعاب هاپف (زیر بحرانی یا فوق بحرانی) رخ داده در سیستم تعیین می‌گردد.

۵- استخراج معادله محدود شده به منیفلد مرکزی

محاسبه ضریب اول لیپانف مناسب‌ترین راه تحلیل انشعاب هاپف در سیستم‌های n بعدی با $n \geq 2$ است که از رابطه زیر به دست می‌آید.

$$\Rightarrow \dot{I}_H = \left(\frac{1}{L_H} \right) V_C + \left(\frac{-k_3 r_0^{-(m+2)}}{L_H} \right) I_H + \left(\frac{k_3(m+2)(r_0)^{-(m+3)} i_{H0}}{L_H} \right) \Re + \left(\frac{k_3(m+2)(r_0)^{-(m+3)}}{L_H} \right) \Re I_H + \left(\frac{-k_3(m+2)(m+3)(r_0)^{-(m+4)} i_{H0}}{2L_H} \right) \Re^2 + \\ \left(\frac{-k_3(m+2)(m+3)(r_0)^{-(m+4)}}{2L_H} \right) \Re^2 I_H + \left(\frac{k_3(m+2)(m+3)(m+4)(r_0)^{-(m+5)} i_{H0}}{6L_H} \right) \Re^3 \\ + \left(\frac{k_3(m+2)(m+3)(m+4)(r_0)^{-(m+5)}}{6L_H} \right) \Re^3 I_H + \left(\frac{k_3(m+2)(m+3)(m+4)(r_0)^{-(m+5)}}{6L_H} \right) \Re^3 I_H \\ + \left(\frac{-k_3(m+2)(m+3)(m+4)(m+5)(r_0)^{-(m+6)} i_{H0}}{24L_H} \right) \Re^4 \left(\frac{-k_3 r_0^{-(m+2)} i_{H0}}{L_H} \right) + \left(\frac{v_{C0}}{L_H} \right) + O(\Re^4 I_H + \Re^5) \quad (۲۰)$$

$$\Rightarrow \dot{\Re} = \left(\frac{2k_3 r_0^{-(m+3)} i_{H0}}{k_2} \right) I_H + \left(\frac{-k_3(m+3)(r_0)^{-(m+4)} i_{H0}^2 - k_1(n-1)r_0^{(n-2)}}{k_2} \right) \Re + \\ \left(\frac{k_3 r_0^{-(m+3)}}{k_2} \right) I_H^2 + \left(\frac{-2k_3(m+3)(r_0)^{-(m+4)} i_{H0}}{k_2} \right) \Re I_H + \left(\frac{k_3(m+3)(m+4)(r_0)^{-(m+5)} i_{H0}^2 - k_1(n-1)(n-2)r_0^{(n-3)}}{2k_2} \right) \Re^2 + \\ \left(\frac{-k_3(m+3)(r_0)^{-(m+4)}}{k_2} \right) \Re I_H^2 + \left(\frac{k_3(m+3)(m+4)(r_0)^{-(m+5)} i_{H0}}{k_2} \right) \Re^2 I_H + \left(\frac{-k_3(m+3)(m+4)(m+5)(r_0)^{-(m+6)} i_{H0}^2}{6k_2} \right) \Re^3 \\ + \left(\frac{k_3(m+3)(m+4)(r_0)^{-(m+5)}}{2k_2} \right) \Re^2 I_H^2 + \left(\frac{-k_3(m+3)(m+4)(m+5)(r_0)^{-(m+6)} i_{H0}}{3k_2} \right) \Re^3 I_H \\ + \left(\frac{k_3(m+3)(m+4)(m+5)(m+6)(r_0)^{-(m+7)} i_{H0}^2}{24k_2} \right) \Re^4 + \left(\frac{k_3 r_0^{-(m+3)} i_{H0}^2}{k_2} \right) + \left(\frac{-k_1 r_0^{(n-1)}}{k_2} \right) + O(\Re^3 I_H^2 + \Re^4 I_H + \Re^5) \quad (۲۱)$$

$$B_3(x, y) = \left(\frac{k_3(m+2)(r_0)^{-(m+3)}}{L_H} \right) (x_3 y_4 + x_4 y_3) + \quad (۲۵) \\ \left(\frac{-k_3(m+2)(m+3)(r_0)^{-(m+4)} i_{H0}}{L_H} \right) (x_4 y_4)$$

$$B_4(x, y) = \left(\frac{2k_3 r_0^{-(m+3)}}{k_2} \right) (x_3 y_3) + \quad (۲۶) \\ \left(\frac{-2k_3(m+3)(r_0)^{-(m+4)} i_{H0}}{k_2} \right) (x_3 y_4 + x_4 y_3) + \\ \left(\frac{k_3(m+3)(m+4)(r_0)^{-(m+5)} i_{H0}^2 - k_1(n-1)(n-2)r_0^{(n-3)}}{k_2} \right) (x_4 y_4)$$

$$C_i(x, y, z) \Big|_{i=1,2,3,4} = \sum_{j,k,g=1}^4 \frac{\partial^3 F_i(\xi)}{\partial \xi_j \partial \xi_k \partial \xi_g} \Big|_{\xi=0} x_j y_k z_g \quad (۲۷)$$

با اعمال رابطه (۲۷) بر روی روابط (۱۶)، (۱۷)، (۲۰) و (۲۱) داریم:

$$C(x, y, z) = [0 \ 0 \ C_3(x, y, z) \ C_4(x, y, z)]^T \quad (۲۸)$$

با توجه به اینکه در روابط (۱۶) تا (۱۹) تنها دو رابطه آخر یعنی روابط \dot{I}_H و $\dot{\Re}$ دارای جملات غیرخطی می‌باشند، برای عبارات سمت راست این روابط بسط سری تیلور را می‌نویسیم که این روابط در معادلات (۲۰) و (۲۱) آورده شده است.

سپس توابع برداری چندخطی را طبق رابطه (۲۲) به کار می‌بریم:

$$\dot{x} = Ax + F(x), \quad F(x) = \frac{1}{2}B(x, x) + \frac{1}{6}C(x, x, x) + O(\|x\|^4) \quad (۲۲)$$

در رابطه (۲۲) $C(x, y, z)$ و $B(x, y)$ توابع برداری چند خطی متقارن با متغیرهای $x, y, z \in \mathbb{R}^n$ به صورت زیر می‌باشند:

$$(\xi_1 = I_L, \quad \xi_2 = V_C, \quad \xi_3 = I_H, \quad \xi_4 = R)$$

$$B(x, y) \Big|_{i=1,2,3,4} = \left. \frac{\partial F(\xi)}{\partial \xi \partial \xi} \right|_{\xi=0} x y \quad (۲۳)$$

با اعمال رابطه (۲۲) بر روی روابط (۱۶)، (۱۷)، (۲۰) و (۲۱) داریم:

$$B(x, y) = [0 \ 0 \ B_3(x, y) \ B_4(x, y)]^T \quad (۲۴)$$

$$B(q, E) = \begin{bmatrix} 0 \\ 0 \\ \left(\frac{k_1(m+2)(r_0)^{(m+3)}}{L_H} \right) (q_1 E_1 + q_2 E_2) + \left(\frac{-k_1(m+2)(m+3)(r_0)^{(m+4)}}{L_H} i_{H0} \right) (q_3 E_4) \\ \left(\frac{2k_1 r_0^{-(m+3)}}{k_2} \right) (q_1 E_1) + \left(\frac{-2k_1(m+3)(r_0)^{(m+4)} i_{H0}}{k_2} \right) (q_3 E_4 + q_4 E_3) + \\ \left(\frac{k_1(m+3)(m+4)(r_0)^{(m+5)}}{k_2} i_{H0}^2 - k_1(n-1)(n-2)r_0^{(n-3)} \right) (q_4 E_4) \end{bmatrix} \quad (38)$$

همچنین با تعریف G به صورت رابطه (۳۹) که در آن \mathbf{I} ماتریس واحد از مرتبه چهار است، و همچنین با استفاده از رابطه (۲۴) به رابطه (۴۰) خواهیم رسید.

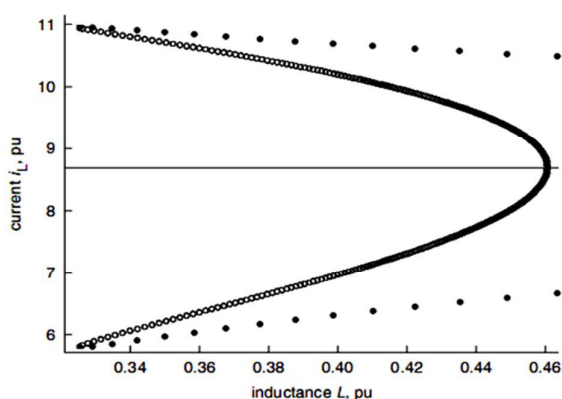
$$G = (2j\omega_0 I - A)^{-1} B(q, q) = [G_1 \quad G_2 \quad G_3 \quad G_4]^T \quad (39)$$

$$B(\bar{q}, G) = \begin{bmatrix} 0 \\ 0 \\ \left(\frac{k_1(m+2)(r_0)^{(m+3)}}{L_H} \right) (\bar{q}_1 G_1 + \bar{q}_2 G_2) + \left(\frac{-k_1(m+2)(m+3)(r_0)^{(m+4)}}{L_H} i_{H0} \right) (\bar{q}_3 G_4) \\ \left(\frac{2k_1 r_0^{-(m+3)}}{k_2} \right) (\bar{q}_1 G_1) + \left(\frac{-2k_1(m+3)(r_0)^{(m+4)} i_{H0}}{k_2} \right) (\bar{q}_3 G_4 + \bar{q}_4 G_3) + \\ \left(\frac{k_1(m+3)(m+4)(r_0)^{(m+5)}}{k_2} i_{H0}^2 - k_1(n-1)(n-2)r_0^{(n-3)} \right) (\bar{q}_4 G_4) \end{bmatrix} \quad (40)$$

برنامه کامپیوتی محاسبه ضریب اول لیپانوف با استفاده از نرم افزار Matlab نوشته شده که با استفاده از این برنامه L_1 به صورت رابطه (۴۱) خواهد بود:

$$L_1(L_0) = 1.573278639726965 \times 10^{-5} > 0 \quad (41)$$

با توجه به مثبت بودن این مقدار نتیجه می‌شود که انشعاب هاپف رخداده از نوع زیر بحرانی می‌باشد. تا قبل از رخدادن انشعاب هاپف در اطراف نقطه تعادل سیکل حد ناپایدار داریم، این سیکل حد ناپایدار ناحیه جذب نقطه تعادل را مشخص می‌کند. با توجه به مثبت بودن این مقدار نتیجه می‌شود که انشعاب هاپف رخداده از نوع زیر بحرانی می‌باشد. تا قبل از رخدادن انشعاب هاپف در اطراف نقطه تعادل سیکل حد ناپایدار داریم.



شکل (۸): دیاگرام انشعاب
Fig. (8): Bifurcation diagram

$$C_3(x, y, z) = \begin{bmatrix} \left(\frac{-k_3(m+2)(m+3)(r_0)^{-(m+4)}}{L_H} \right) (x_3 y_4 z_4 + x_4 y_3 z_4 + x_4 y_4 z_3) + \\ \left(\frac{k_3(m+2)(m+3)(m+4)(r_0)^{-(m+5)} i_{H0}}{L_H} \right) (x_4 y_4 z_4) \end{bmatrix} \quad (39)$$

$$C_4(x, y, z) = \begin{bmatrix} \left(\frac{-2k_3(m+3)(r_0)^{-(m+4)}}{k_2} \right) (x_3 y_3 z_4 + x_3 y_4 z_3 + x_4 y_3 z_3) + \\ \left(\frac{2k_3(m+3)(m+4)(r_0)^{-(m+5)} i_{H0}}{k_2} \right) (x_3 y_4 z_4 + x_4 y_3 z_4 + x_4 y_4 z_3) + \\ \left(\frac{-k_3(m+3)(m+4)(m+5)(r_0)^{-(m+6)} i_{H0}^2}{k_2} \right) (x_4 y_4 z_4) \end{bmatrix} \quad (40)$$

در ادامه ماتریس ژاکوبین را حول نقطه تعادل اول به دست می‌آوریم، سپس بردارهای ویژه مربوط به مقدار ویژه $\lambda = j\omega_0$ را محاسبه می‌کیم:

$$Aq = j\omega_0 q, \quad q = [q \quad q \quad q \quad q] \quad (41)$$

بردارهای ویژه الحاقی مربوط به مقدار ویژه $\lambda = -j\omega_0$ را به صورت زیر به دست می‌آوریم:

$$A^T p' = -j\omega_0 p', \quad p' = [p'_1 \quad p'_2 \quad p'_3 \quad p'_4]^T \quad (42)$$

حال بردارهای ویژه به دست آمده را نرمالیزه می‌کنیم:

$$N = \langle p', q \rangle = \sum_{i=1}^n \bar{p}'_i q_i = 1 \quad (43)$$

همچنین:

$$\text{If } P = \frac{1}{N} p' \Rightarrow \langle p, q \rangle = \langle \frac{1}{N} p', q \rangle = \frac{1}{N} \langle p', q \rangle = 1$$

(44)

بنابراین:

$$\Rightarrow p = \frac{1}{N} [p'_1 \quad p'_2 \quad p'_3 \quad p'_4]^T \quad (45)$$

با استفاده از رابطه (۴۴) و $B(q, \bar{q})$ را محاسبه می‌کنیم

همچنین با استفاده از رابطه (۲۸) داریم:

$$C(q, q, \bar{q}) = [0 \quad 0 \quad C(q, q, \bar{q}) \quad C(q, q, \bar{q})] \quad (46)$$

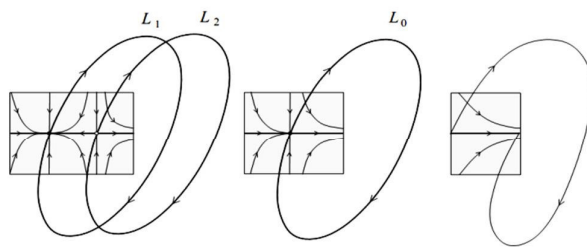
با تعریف E به عنوان قسمتی از ضریب اول لیپانوف به صورت رابطه (۳۷) و همچنین با استفاده از رابطه (۲۴) به رابطه (۳۸) خواهیم رسید:

$$E = A^{-1} B(q, \bar{q}) = [E_1 \quad E_2 \quad E_3 \quad E_4]^T \quad (47)$$

همان طور که ملاحظه می‌گردد به ازای پارامتر انشعاب $\alpha < 0$ دو سیکل حد داریم، یکی پایدار و دیگری ناپایدار. در واقع در سیکل حد پایدار تمامی ضرب‌کننده‌ها داخل دایره واحد قرار دارند و در سیکل حد ناپایدار حداقل یکی از آنها در بیرون از دایره واحد قرار دارند. در نقطه انشعاب دو سیکل حد به هم رسیده و در هم ادغام می‌گردند. در این حالت مسیرهای فاز از یک سو به سمت سیکل حد همگرا شده و از سوی دیگر از آن دور می‌گردند. در $\alpha > 0$ سیکل‌های حد از بین می‌روند. در شکل (۸) این انشعاب در $pu = 0.3251900570$ در $L = 0.3251900570$ رخ داده است. در کمتر از این مقدار سیکل حدی وجود ندارد و در پارامتر انشعاب بیشتر از این مقدار دو سیکل حد داریم. مقادیر حداکثر و حداقل سیکل حدی ناپایدار با دایره‌های توانی و برای سیکل حد پایدار با دایره‌های توپر نشان داده شده است. اگر شرایط اولیه سیستم در ناحیه بین دو سیکل حد قرار گیرند، جذب سیکل حد پایدار می‌گردد.

۶- نتیجه گیری

در این مقاله پایداری بار دینامیکی غیرخطی کوره قوس الکتریکی متصل به سیستم قدرت در حضور منبع تولید توان راکتیو بانک خازنی با استفاده از تئوری انشعابات مورد بررسی قرار گرفت. و همچنین روابط تحلیلی بررسی انشعابات گره - زینی و هاپف در مورد سیستم‌های مدل شده با درجه n استخراج گردید. در این مقاله ابتدا به روش تحلیلی انشعابات سیستم قدرت شامل یک کوره قوس الکتریکی استخراج گردید و سپس نتایج کار با خروجی نرم‌افزار AUTO مقایسه شد و نتایج زیر حاصل گردید. با استفاده از روش تحلیلی تنها یک نوع از انشعابات این سیستم قدرت مشخص گردید ولی با کمک نرم‌افزار Auto همه انشعابات ممکن در سیکل‌های حدی به وجود آمده (با تغییر پارامتر) مشخص گردید.



شکل (۹): انشعاب فولد در سیکل‌های حدی

Fig. (9): Fold bifurcation of limit cycles

این سیکل حد ناپایدار ناحیه جذب تعادل را مشخص می‌کند. با نزدیک شدن به نقطه انشعاب دامنه سیکل حد کوچک‌تر شده و ناحیه جذب محدودتر می‌گردد؛ تا اینکه در نقطه انشعاب سیکل حد و نقطه تعادل در هم ادغام می‌گردد و سیکل حد از بین می‌رود. در این حالت همگرایی نقطه تعادل به کندی صورت می‌گیرد. در این قسمت، سیستم قدرت مورد نظر (شکل (۶)) با استفاده از نرم افزار Auto بررسی قرار می‌گیرد تا مقایسه‌ای بین نتایج به دست آید و همچنین انشعابات احتمالی در سیکل حدها با تغییر پارامتر انشعاب استخراج گردد. خروجی این برنامه در شکل (۸) آمده است.

همان طور که ملاحظه می‌گردد نقطه کار پایدار سیستم برای جریان i_L برابر $8.6979 pu$ به ازای L کمتر از $L_0 = 0.46065 pu$ است. یک جفت مقدار ویژه مزدوج مخلط روی محور موهومی قرار می‌گیرند و انشعاب هاپف رخ می‌دهد. مقادیر حداکثر و حداقل سیکل‌های حد ناپایدار با دایره‌های توانی نشان داده شده است. نواحی بین خط ممتد و مقادیر حداکثر و حداقل سیکل‌های حد ناپایدار، نواحی جذب نقاط تعادل سیستم را مشخص می‌کنند. اتفاق جالب در این دیاگرام رخداد انشعاب فولد در مدارهای تناوبی (سیکل حد) است. دیاگرام کلی این انشعاب در شکل (۹) آورده شده است.

References

- [1] M .Gulshan Hamadani, Voltage stability of power systems, printing, publishing Astan Quds Razavi, 2007.
- [2] W. Gu, F. Milano, P. Jiang, G. Tang, "Hopf bifurcation induced by SVC controllers: A didactic example", Int. J. Electric Power System Research, Vol. 77, pp. 234-240, 2007.
- [3] T.A. Kuznetsov, "Elements of aplled bifurcation theory", Second edition, Springer, 1998.
- [4] S. Wiggins, "Introduction to applied nonlinear dynamical systems", Second edition, Springer, 2003.
- [5] H. Samet, "Modeling and prediction of dynamic reactive power control algorithm used in electric arc furnaces with the aim of SVC", School of Electrical and Computer Engineering, Isfahan University of Technology, PhD Thesis in Electrical Engineering, 2008.
- [6] F. Chen, K.B. Athreya, V.V. Sastry, S.S. Venkata, "Function space valued markov model for electric arc furnace", IEEE Trans. Power Sys., Vol. 19, No. 2, pp. 826-833, May 2004.
- [7] G.C. Montanari, M. Loggini, A. Cavallini, L. Pitti, D. Zaninelli, "Arc-furnace model for the study of flicker compensation in electrical networks", IEEE Trans. Power Deliv., Vol. 9, No. 4, pp.2026-2036, 1994.
- [8] S.M. Mousavi Agah, S.H. Hosseiniyan, N. Askarian Abyaneh Moaddabi, "Parameter identification of arc furnace based on stochastic nature of arc length using two-step optimization technique", IEEE Trans. Power Deliv., Vol. 25, No. 4, pp. 2859-2867, Oct.
- [9] T. Zheng, E.B. Makram, "An adaptive arc furnace model", IEEE Trans. Power Del., Vol. 15, No. 3, Jul. 2000.
- [10] M.A. Gómez-Martínez, A. Medina, C.R. Fuerte-Esquivel, "AC arc furnace stability analysis based on bifurcation theory", IEE Proc.-Gener. Transm. Distrib., Vol. 153, No. 4, pp. 463-468, July 2006.